

ابرتفسکیک پذیری رشته تصاویر خودرو به منظور بهبود بازشناسی پلاک

امین ترکیان و پیمان معلم*

گروه مهندسی برق، دانشکده فنی و مهندسی، دانشگاه اصفهان، اصفهان، ایران

چکیده

اگرچه بازشناسی خودکار پلاک خودرو از مسائل مورد توجه در حوزه پردازش تصاویر تراویکی است، ولی در مواقعی این تصاویر به دلیل پایین بودن کیفیت دوربین و یا به دلیل زیاد بودن فاصله از خودرو، اطلاعات چندان مفیدی در اختیار سامانه بازشناسی خودکار پلاک قرار نمی دهدند. از راه حل های ممکن برای برخورد با این چالش، استفاده از روش های ابر تفسکیک پذیری تصویر با هدف بهبود کیفیت بازشناسی پلاک، بر مبنای ادغام تصاویر موجود در رشته تصاویر ویدیویی است. در این مقاله یک روش ابر تفسکیک پذیری چند تصویری با استفاده از کانولوشن نرمال شده، با چند الگوریتم انطباق تصویری نظری روش فوریه-ملین، روش کرن و روش وندول ترکیب شده تا تفسکیک پذیری تصاویر پلاک را افزایش دهد؛ در نهایت الگوریتم بیشنهادی بر روی تصاویر شبیه سازی شده، تصاویر واقعی کوچک شده، و نیز تصاویر واقعی به دست آمده از ۷۲ پلاک متفاوت مورد ارزیابی قرار گرفت و مشخص شد که این الگوریتم نسبت به روش تک تصویری ASDS-AR و روش POCS بسته به نوع داده ورودی، میزان دقیق در الگوریتم پلاک خوان را حدود ۲۵٪ بر نوبه و حدود ۴۰٪ بر پلاک افزایش داده است.

وازگان کلیدی: ابر تفسکیک پذیری، کانولوشن نرمال شده، تثبیت تصاویر، بازشناسی پلاک خودرو

Multi-frame Super Resolution for Improving Vehicle Licence Plate Recognition

Amin Torkian & Payman Moallem*

Department of Electrical Engineering, Faculty of Engineering, University of Isfahan,
Isfahan, Iran

Abstract

License plate recognition (LPR) by digital image processing, which is widely used in traffic monitor and control, is one of the most important goals in Intelligent Transportation System (ITS). In real ITS, the resolution of input images are not very high since technology challenges and cost of high resolution cameras. However, when the license plate image is taken at low resolution, the license plate cannot be readable; hence, the recognition algorithm could not work well. There are many reasons resulting in the degradation of captured license plate images, such as downsampling, blurring, warping, noising, and distance of car from camera. Many researchers try to enhance the quality of input images by image restoration algorithms to improve the LPR final accuracy.

Recently, super-resolution (SR) techniques are widely used to construct a high-resolution (HR) image from several observed low-resolution (LR) images, thereby removing the degradations caused by the imaging of a low resolution camera. As mentioned, in real ITS, the resolution of input image is not high, but there are successive frames from a target, therefore multi-frame SR methods can be used to overcome the ITS resolution challenges.

In this paper, an SR technique based on POCS (Projection onto Convex Sets) is used to reconstruct an HR license plate image from a set of registered LR images. The normalized convolution (NC) framework is used in POCS, in which the local signal is approximated through a projection onto a subspace. However, the window function of adaptive NC is adapted to local linear structures. This results in more samples of the same

* Corresponding author

نویسنده عهده دار مکاتبات

modality being fused for the reconstruction, which in turn reduces diffusion across discontinuities, that is very important factor in improving LPR accuracy.

The first step in multi-frame SR is image registration which is necessary to improve quality of the reconstructed HR image, especially in LPR when the quality of the reconstructed edges of characters is very important. For simplicity, it is often supposed simple motions (usually translation) between successive frames in multi-frame SR, but changes in scale, rotation and translation in license plate successive images may happen. It means that the registration is one of the main challenges in SR used for LPR. This paper proposes use of a two-step image matching algorithm to improve the quality of registration stage. In the first step, Fourier-Mellin image matching is used for registration which overcomes the scale and rotation challenge, but the accuracy of registration is not suitable. After matching of the successive input images by Fourier-Mellin algorithm, the Keren or Vandewalle image matching is used to improve the quality of final registration. For real LR images, Fourier-Mellin plus Keren shows higher performance while for simulated LR images, Fourier-Mellin plus Vandewalle shows higher performance.

In order to compare the results of two proposed SR algorithms for LPR application with the other methods, we prepare three real datasets of successive frames for Persian LPR, the first and the second one are captured HR and LR successive frames, respectively, while the third one is a downsampled LR version of HR frames. The output HR image of all compared methods is feed to a demo version of a Persian LPR software (www.farsioocr.ir), and the accuracy of each character and the accuracy each license are reported. Five SR methods are compared including: cubic interpolation, ASDS-AR (Adaptive Sparse Domain Selection and Adaptive Regularization), standard POCS, our first and second proposed SR method which both of them firstly use Fourier-Mellin registration, while the first one uses Keren, and the second one uses Vandewalle image matching for a fine registration. Moreover, to present the effectiveness of using SR methods before LPR, the LR images are also directly feed to LPR software.

The results represent when the length of license is less than 50 pixels, using SR methods before LPR improves the recognition accuracy. Moreover, when the license plate length is less 35 pixels, SR methods could not improve the performances. Our investigations show that for LR downsampled images from HR ones, our proposed SR method with Fourier-Mellin plus Keren registration reaches to the highest performance, while for real LR images, which are captured by a low resolution camera, our proposed SR method with Fourier-Mellin plus Vandewalle registration reaches to the highest performance. On the other hand, since some Persian numerical characters, like ۲ (2) and ۳ (3) are very similar to each other, all of the compared methods may confuse between them in LPR step, therefore, the accuracy per license of all compared methods are not high. Among all previous compared methods, for LR images with length between 35 to 50 pixels, the standard PCOS shows the best results, while our proposed SR methods improve the accuracy per character around 25%, with respect to PCOS method.

Keywords: Super Resolution, Normalized Convolution, Images Registration, License Plate Recognition

چند تصویر با تفکیک‌پذیری کم^۳ به یک تصویر با تفکیک‌پذیری بالا^۴ دست یافت، ابرتفکیک‌پذیری^۵ می‌گویند.
[2]

ابرتفکیک‌پذیری می‌تواند در افزایش کیفیت تصاویر پلاک خودرو بهمنظور بهبود بازشناسی پلاک نیز مؤثر باشد. با توجه به اهمیت خواندن شماره پلاک با استفاده از تصاویر حاوی پلاک خودرو، تاکنون روش‌های مختلف محدودیت‌هایی در این زمینه موجود است. ابرتفکیک‌پذیری در این زمینه مورد استفاده قرار گرفته است. در بعضی مقالات بهدلیل محدودیت داده‌های ورودی و همچنین سادگی روابط از روش‌های تک تصویری^۶ نظری روش مبتنی بر MAP^۷ [3] و یا روش‌های مبتنی بر آموزش و جفت‌سازی تکه‌های تصویر با استفاده از لغتنامه‌های تصویر محدود است [4][5]. ASDS-AR^۸ استفاده شده است.

³ Low-resolution (LR)

⁴ High-resolution (HR)

⁵ Super-resolution (SR)

⁶ Single-frame

⁷ Maximum A Posteriori

⁸ Adaptive Sparse Domain Selection and Adaptive Regularization

۱- مقدمه

تشخیص و شناسایی پلاک خودرو (LPR)، از ملزمات مهم سامانه‌های حمل و نقل هوشمند مبتنی بر دوربین‌های دیجیتال است [1]. اگرچه پیشرفت‌های زیادی در زمینه دوربین‌های دیجیتال اتفاق افتاده است، ولی همچنان محدودیت‌هایی موجود، باعث محدودیت تفکیک‌پذیری تصاویر دریافتی می‌شود. به عنوان مثال دوربین‌های با تفکیک‌پذیری بالا، بهدلیل بزرگبودن اندازه لنز^۹ و دوربین، حجم، وزن و قیمت زیادی که دارند، برای سامانه‌های حمل و نقل هوشمند مناسب نیستند. همچنین گاهی به دلیل حرکت صحنه مورد نظر در مقابل دوربین تصاویر، دچار تاری هستند و این امر سبب می‌شود به تصویری با جزئیات کافی دست نیابیم. بنابراین با وجود این محدودیت‌ها، نیاز به روش‌هایی که بتوان تفکیک‌پذیری تصویر را افزایش داد، همچنان به خوبی احساس می‌شود. به روش‌هایی که با استفاده از آنها می‌توان از یک یا

¹ License Plate Recognition

² Lens

[14] و روش فوریه-ملین^۸ [17] استفاده می کنیم و پس از آن تصاویر منطبق شده را با استفاده از روش ابرتفکیک پذیری یادشده بهبود می دهیم.

این روش ابرتفکیک پذیری پس از معرفی در [15]، در [18] همراه با تغییراتی استفاده شده است؛ به این صورت که آنها برای کاهش اثر نویه با استفاده از یک فیلتر دوطرفه، کانولوشن نرمال شده را بهبود داده اند و برای حذف نویه های بسیار کوچک به جای تابع اطمینان گوسی از تابع اطمینان لاپلاسین-گوسین استفاده کرده اند. البته در [18] از تابع کاربردی انطباقی که برای تصاویر پلاک بهدلیل داشتن لبه های زیاد ضروری است، استفاده نشده است؛ بنابراین ما در این مقاله با توجه به پایین یودن اثر نویه و زیاد بودن لبه ها در تصویر پلاک از روش [15] استفاده می کنیم. از آن جا که هدف ما از این پژوهش، کاهش خطای در الگوریتم های پلاک خوان بود، نتایج دقیق پلاک خوانی، با استفاده از یک نرم افزار پلاک خوان که نسخه نمایشی آن از سایت www.farsioocr.ir برداشته شده، ارزیابی شد. در این نرم افزار، فرایند تشخیص موقعیت پلاک با ترکیبی از روش های ساختاری و هوشمند انجام شده و برای تشخیص نویشته های پلاک، از یک شبکه عصبی آموزش دیده با نمونه های مختلفی از ارقام و حروف پلاک های ملی، استفاده شده است.

نتایج ارزیابی نشان می دهد که روش پیشنهادی میزان خطای را در مقایسه با روش های تک تصویری و روش چند تصویری POCS همراه با روش انطباق تصویری فوریه-ملین و ندول [13] به مقدار زیادی کاهش می دهد.

در بخش ۲ مختصری در مورد روش های انطباق تصویر گفته می شود، پس از آن در بخش ۳ روش ابرتفکیک پذیری استفاده شده در این مقاله بررسی شده، سپس در بخش ۴ مراحل انجام بهینه سازی تصاویر در این مقاله مشخص می شود و در بخش ۵ نتایج بدست آمده از آزمایش ها ارائه و در بخش ۶ نتیجه گیری مقاله ارائه می شود.

۲- روش های انطباق تصویری

همان طور که در روش های ابرتفکیک پذیری چند تصویری مشاهده می شود، در بیشتر مقالات به اثر منطبق کردن تصاویر با تفکیک پذیری پایین اشاره می شود؛ به گونه ای که این روش ها بدون منطبق کردن تصاویر ورودی تأثیر مناسبی ندارند. بنابراین استفاده از روش های انطباق تصویری به عنوان یک پردازش اولیه برای الگوریتم های ابرتفکیک پذیری گریز ناپذیر است. با توجه به این موضوع در اینجا به روش های

⁸ Fourier-Mellin Transform

اگر در تصاویر ورودی محدودیتی وجود نداشته باشد و برای یک صحنه، قاب^۱ های تصویر متغیر و مناسبی وجود داشته باشد، نتایج روش های چند تصویری^۲ ابرتفکیک پذیری مطلوب تر است. اگر چه پیچیدگی روابط در روش های چند تصویری به دلیل ضروری بودن استفاده از روش های انطباق تصویری^۳ در این دسته از روش های ابرتفکیک پذیری، بیشتر از روش های تک تصویری است، اما به دلیل کیفیت مطلوب تر تصاویر خروجی، اغلب از این روش ها در حوزه تصاویر پلاک استفاده شده است. در برخی مقالات برای استفاده در سامانه های بلاذرنگ مانند پلاک خوان در پارکینگ ها به دلیل محدودیت زمان پردازش، با ساده سازی روابط، به روش های سریع ابرتفکیک پذیری دست یافته اند (مانند روش سریع MAP [6] و یا روش سریع ابرتفکیک پذیری [7])، اما اغلب از روش های ابرتفکیک پذیری چند تصویری به همراه روش های انطباق تصویری استفاده شده است، که در این حوزه می توان به الگوریتم هایی مانند روش مبتنی بر^۴ POCS با استفاده از پارامتر تنظیم انطباقی [8]، روش POCS وزن دار شده [9]، روش درون یابی غیر یکنواخت [10]، روش درون یابی یک پارچه [11]، روش بازسازی جبری [12] و روش ابرتفکیک پذیری برای بازسازی تصاویر پلاک در سامانه های نظارت ویدئویی [13] اشاره کرد.

در این مقاله، روشی برای ابرتفکیک پذیری پلاک خودرو به منظور بهبود نرخ بازشناسی پلاک، مشابه روش POCS ارائه می شود. گفتنی است که تفاوت روش پیشنهادی این مقاله با این روش POCS در به کار گیری روش ابرتفکیک پذیری مبتنی بر کانولوشن نرمال^۵ شده و استفاده از روش انطباق تصویری کرن [14] برای تصاویر واقعی است. به عبارت دیگر روش پیشنهادی ما ترکیب چند روش انطباق تصویری با یک روش ابرتفکیک پذیری است. روش ابرتفکیک پذیری مورد استفاده ما یک روش مبتنی بر کانولوشن نرمال شده است که با استفاده از یک سیگنال اطمینان و هم چنین یک پارامتر تطبیقی عملکرد آن بهبود داده شده است [15]. به این صورت که ابتدا برای منطبق کردن تصاویر از روش های انطباق تصویری وندول^۶ [16]، روش کرن^۷

¹ Frame

² Multi-frame

³ Registration

⁴ Projection onto Convex Sets

⁵ Normalized Convolution

⁶ Vandewalle

⁷ Keren

در قسمت ۱-۳ ایده کانولوشن نرمال شده و پاسخ کمینه مربعات آن بررسی می شود. در قسمت ۲-۳ با استفاده از یک سیگنال اطمینان قوی، کانولوشن نرمال شده تقویت شده که این سیگنال اطمینان به طور مستقیم از تفاوت شدت میان نمونه فعلی و همسایگان آن به دست می آید.

در قسمت ۳-۳ یکتابع عملکرد چرخش ناهمسانگرد گوسی ارائه می شود. پارامترهای هدایت کننده برای تابع عملکرد و فقی با استفاده از گرادیان اطلاعات مربوط به داده ورودی به دست می آید. و درنهایت در قسمت ۴-۳ مراحل انجام الگوریتم ابرتفکیک پذیری بر روی تصاویر ورودی بیان خواهد شد.

درنهایت ما در مقاله از الگوریتم ابرتفکیک پذیری پیشنهادی، در حوزه پلاک استفاده کردیم و که نتایج بهتری هم برای تصاویر شبیه سازی شده و هم برای تصاویر واقعی، نسبت به روش های مشابه قبلی به دست آمد.

۳-۱ کانولوشن نرمال شده با استفاده از چند جمله ای پایه

کانولوشن نرمال شده، روشی برای مدل سازی سیگنال محلی بر اساس طرحی از مجموعه توابع پایه است که هر پایه استفاده شده اغلب به صورت یکی از جملات چندجمله ای است: $\{1, x, y, x^2, y^2, xy\}$ که در آن $x = [x_1, x_2, \dots, x_N]^T$ با N عنصر، $1 = [1 1 \dots 1]^T$ و $x^2 = [x_1^2, x_2^2, \dots, x_N^2]^T$ و سایر جملات نیز به همین صورت از مختصات محلی N نمونه ورودی به دست می آیند. استفاده از چندجمله ای توابع پایه، کانولوشن نرمال شده مرسوم را به صورت بسط سری تیلور محلی معادل می کند. در داخل یک همسایگی محلی به مرکز $(x_0, y_0) = s_0$ مقدار شدت در مکان $(x + x_0, y + y_0) = s$ توسط یک چندجمله ای به صورت زیر تخمین زده می شود:

$$\hat{f}(s, s_0) = p_0(s_0) + p_1(s_0)x + p_2(s_0)y + p_3(s_0)x^2 + p_4(s_0)xy + p_5(s_0)y^2 + \dots \quad (1)$$

که در آن، (x, y) مختصات محلی نمونه S نسبت به مرکز تجزیه و تحلیل s_0 بوده و $p_m(s_0) = [p_0 \ p_1 \ \dots \ p_m]^T$ نیز ضرایب مربوط به توابع پایه چندجمله ای در s_0 است. کانولوشن نرمال شده، برای محلی کردن مناسب چندجمله ای، از یک تابع به اصطلاح کاربردی استفاده می کند. این تابع کاربردی اغلب یک تابع همگرای میرا است که اندازه آن متناسب با مقیاس تجزیه و تحلیل است. اغلب یک تابع

انطباق تصویری اشاره های می کنیم. به طور کلی روش های انطباق تصویری که اغلب مورد استفاده قرار می گیرند را می توان به دو دسته کلی روش های مبتنی بر ناحیه و روش های مبتنی بر ویژگی تقسیم بندی کرد. در روش های مبتنی بر ناحیه یا از پارامتر اختلاف هم بستگی^۱ استفاده می شود [۱۹] و یا از روش فوریه^۲ مانند روش وندول [۱۶] و روش فوریه ملین [۱۷]. روش مبتنی بر ویژگی به چهار مرحله تقسیم می شود: ۱- تشخیص ویژگی، ۲- تطبیق ویژگی، ۳- تبدیل مدل تخمین و ۴- نمونه برداری مجدد و انتقال تصویر. اگرچه به طور کلی روش های مبتنی بر ناحیه عملکرد مطلوب تری نسبت به روش های مبتنی بر ویژگی در تطبیق تصاویر دارند؛ اما در بعضی شرایط خاص این روش ها نیز به ما کمک خواهند کرد، مانند روش کرن [۱۴].

در این مقاله برای تصاویر شبیه سازی شده روش وندول و برای تصاویر واقعی روش های فوریه ملین و کرن به طور همزمان بهترین نتایج را در اختیار ما قرار می دهند.

۳-۲ ابرتفکیک پذیری استفاده شده [۱۵]

ابرتفکیک پذیری استفاده شده در این مقاله، روشی برای استخراج تصویر از یک نمونه داده نامنظم است؛ روش های معمول برای استخراج تصویر از یک نمونه داده نامنظم، مبتنی بر درون یابی مسطح هستند که باعث می شوند در تصویر خروجی حالت موزاییک شدن مشاهده شود. روش استفاده شده در این مقاله مبتنی بر چارچوب کانولوشن نرمال شده (NC) است، که در آن سیگنال محلی از طریق یک طرح به فضای فرعی تخمین زده می شود. استفاده از توابع پایه چندجمله ای در این پژوهش معادلات کانولوشن نرمال شده را به صورت بسط سری تیلور محلی در می آورد.

برخلاف چارچوب مرسوم، در اینجا تابع پنجره از کانولوشن نرمال شده تطبیقی بر یک ساختار خطی محلی منطبق می شود. این امر منجر به فراهم شدن نمونه های بیشتری با شرط یکسان برای تجزیه و تحلیل خواهد شد که به نوبه خود، نسبت سیگنال به نوافه را بهبود داده و باعث کاهش انتشار در سراسر نایپوسنگی می شود. یک سیگنال اطمینان قوی نیز برای کم کردن داده های پرت که ناشی از، از بین رفتن پیکسل ها یا انطباق تصویر اشتباه هستند، اضافه می شود. قابلیت ترکیب بسیار خوب کانولوشن نرمال شده تطبیقی از طریق کاربرد آن در ابرتفکیک پذیری نشان داده می شود.

¹ Cross Correlation method

² Fourier method

متمرکز شده است، کمینه می‌شود:

$$\mathcal{E}(s_0) = \int (f(s) - \hat{f}(s, s_0))^2 c(s) a(s - s_0) ds \quad (2)$$

که در آن سیگنال اطمینان $1 \leq c(s) \leq 0$ ، قابلیت اطمینان اندازه‌گیری در راه، با صفر نماینده در داده‌های به طور کامل غیر قابل اعتماد و یک نماینده در داده‌های به طور کامل مورد اعتماد تعیین می‌کند. اگرچه هر دو مقدار c و a به عنوان وزن اسکالر برای مربع خطاهای عمل می‌کنند، آنها خواص متفاوتی نیز نشان می‌دهند که هر کدام همان‌گونه که در دو قسمت بعد نشان داده شده است، می‌توانند بر داده تصویر محلی منطبق شوند. برای یک همسایگی شامل N نمونه استاندارد رگرسیون کمینه مربعات، یک پاسخ به فرم ماتریسی ارائه می‌دهد:

$$p = (B^T W B)^{-1} B^T W f \quad (3)$$

که در آن f یک ماتریس $N \times 1$ از شدت ورودی $\mathbf{f}(s)$ و B $[b_1 \ b_2 \ \dots \ b_m]$ یک ماتریس $N \times m$ از m تابع پایه نمونه‌برداری شده از N نمونه ورودی در مختصات محلی و $W = \text{diag}(c) \cdot \text{diag}(a)$ عنصر آن از سیگنال اطمینان c و تابع کاربردی a به دست می‌آید.

در مورد داده نمونه‌برداری شده منظم با اطمینان ثابت و تابع کاربردی ثابت، کانولوشن می‌تواند بسیار مؤثر اجرا شود؛ چون همسایگی محلی در یک شبکه منظم، یکسان سازمان یافته، توابع پایه نیز ثابت خواهد بود. پاسخ کمینه مربعات در رابطه (3) برای کانولوشن نرمال شده مرتبه صفر می‌تواند به دو کانولوشن، ساده شود:

$$\hat{f}_0 = \frac{a * (c \cdot f)}{a * c} \quad (4)$$

که در آن \hat{f}_0 تصویر درون‌بابی شده، $*$ عملگر کانولوشن و $c \cdot f$ یک ضریب پیکسل معقول از اطمینان تصویر و شدت تصویر است. یک کانولوشن نرمال شده مرتبه نخست کامل به ۹ عدد کانولوشن نیاز دارد و سه تصویر خروجی تولید می‌کند: یک تصویر درون‌بابی \hat{f}_0 و دو مشتق جهت‌دار \hat{f}_x و \hat{f}_y در جهت‌های x و y :

$$\begin{bmatrix} \hat{f}_1 \\ \hat{f}_x \\ \hat{f}_y \end{bmatrix} = \left(\begin{bmatrix} a & a \cdot x & a \cdot y \\ a \cdot x & a \cdot x^2 & a \cdot xy \\ a \cdot y & a \cdot xy & a \cdot y^2 \end{bmatrix} * c \right)^{-1} \times \begin{pmatrix} a \\ a \cdot x \\ a \cdot y \end{pmatrix} * (c \cdot f) \quad (5)$$

که در آن x ، y ، x^2 ، xy و y^2 هسته اصلی دو بعدی از توابع پایه و تابع کاربردی هستند که در شکل (1) نشان داده شده است.

گوسی برای این منظور استفاده می‌شود. (s_0) می‌تواند برای استخراج مشتقات گوسی که طرح تصویر چندجمله‌ای هرمیت^۱ است، استفاده شود. علاوه بر این کانولوشن نرمال شده به هر سیگنال ورودی اجازه می‌دهد که مقدار اطمینان خودش را داشته باشد. سیگنال اطمینان به خصوص زمانی که نمونه‌های داده گم شده یا غیر قابل اعتماد هستند، مفید است. (مریبوط به حس‌گرهای بد و یا انطباق تصویر اشتباه) هر دو تابع کاربردی و سیگنال اطمینان تأثیر یک نمونه خاص بر چندجمله‌ای محلی مناسب را کنترل می‌کنند. انتخاب مرتبه چندجمله‌ای به کاربرد خاص آن بستگی دارد. اگر سرعت پردازش از دقت آن مهم‌تر باشد، کانولوشن نرمال شده با پایه ثابت مناسب است، که در این صورت این یک مدل تخت محلی است، اگرچه لبه‌ها و مرزها را به خوبی مدل نمی‌کند. کانولوشن نرمال شده مرتبه نخست با سه پایه $\{1, x, y\}$ می‌تواند لبه‌ها را مدل کند و کانولوشن نرمال شده مرتبه دوم با شش پایه $\{1, x, y, x^2, xy, y^2\}$ می‌تواند تیزی‌ها و حباب‌های بیشتری را مدل کند. مرتب بالاتر کانولوشن نرمال شده می‌تواند به تناسب ساختار پیچیده‌تر و هزینه محاسباتی بیشتری داشته باشد. با این حال کانولوشن نرمال شده با مرتب بالاتر به ندرت استفاده می‌شود؛ چون پایه‌های مرتبه بالاتر به جای خود سیگنال، نوشه را نگه می‌دارند. در این مقاله برای ابرتفکیک‌پذیری از کانولوشن نرمال شده مرتبه نخست استفاده می‌شود.

مقیاس تابع کاربردی نیز نقش تعیین‌کننده‌ای در کیفیت درون‌بابی ایفا می‌کند. کانولوشن نرمال شده مرتبه پایین با پنجره کاربردی بزرگ جزئیات کوچک تصویر را بازسازی نمی‌کند؛ با این حال مقیاس تابع کاربردی باید به اندازه کافی بزرگ باشد تا نمونه‌های کافی برای تجزیه و تحلیل محلی پایدار را پوشش دهد؛ مگر در مواردی که تراکم نمونه در همه جای تصویر بالا باشد. (در مواردی که ابرتفکیک‌پذیری از تعداد زیادی قاب با تفکیک‌پذیری پایین انجام می‌شود) یک انتخاب معمول برای تابع کاربردی، تابع گوسی با مقیاس مکانی $\delta = 1$ پیکسل با تفکیک‌پذیری بالا و برشی از سه انحراف معیار است. این تابع کاربردی گوسی کمترین تارش‌گی در اثر درون‌بابی را به وجود می‌آورد؛ در حالی که هنوز به اندازه‌ای بزرگ است که نمونه‌های کافی را پوشش می‌دهد.

۳-۲- تخمین کمترین مربعات

برای به دست آوردن ضرایب طرح ریزی p در یک خروجی در مکان s_0 ، خطای تقریب در حوزه تابع کاربردی a که در

¹ Hermite

نخستین بلوک تصویر $\mu \times \mu$ از μ^2 پیکسل ساخته می‌شود؛ سپس هر پیکسل خروجی در مختصات (x, y) ، همان نمونه محلی پیکسل واقع در $\{\lfloor \mu/x \rfloor, y - \lfloor \mu/x \rfloor\}$ در نخستین بلوک را تشکیل می‌دهد. (که در آن $\lfloor \cdot \rfloor$ عملگر عدد صحیح و $\lfloor \mu/x \rfloor - x$ باقی‌مانده تقسیم x بر μ است).

تشکیل همان نمونه محلی در اینجا بدین معناست که نمونه‌های محلی از همان قاب‌های با تفکیک‌پذیری کم‌مترها با $\{\lfloor \mu/y \rfloor, \lfloor \mu/x \rfloor\}$ قدر انحراف در پیکسل‌های با تفکیک‌پذیری پایین به دست می‌آید.

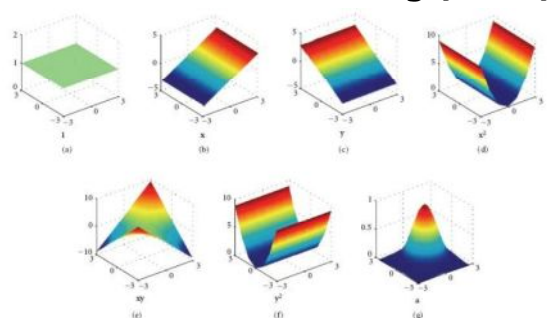
تابع کاربردی $a(s - s_0)$ می‌تواند برای همه نمونه‌های نامنظم S در اطراف s_0 از قبل محاسبه شود، که منجر به یک پیاده‌سازی مؤثر از رابطه (۳) می‌شود.

۴-۳- کانولوشن نرمال شده قوی

اگر چه کانولوشن نرمال شده یک درون‌بایی خوب برای داده‌های نامطمئن است، ولی برای بهبود خود نیاز به شناخت یک سیگنال اطمینان که در قبل از آن اشاره شد، دارد. این سیگنال اطمینان قوی قبل از گسترش چندجمله‌ای پیرامون s_0 به همه نمونه‌های همسایگی اختصاص داده می‌شود. این سیگنال اطمینان قوی یک تابع گوسی از باقی‌مانده خطای $f - f$ است. که به داده‌های پرت وزن کمی داده و بهطور مؤثر آنها را از حضور در تجزیه و تحلیل ما محروم می‌کند:

$$c(s, s_0) = \exp\left(-\frac{|f(s) - \hat{f}(s, s_0)|^2}{2\delta_f^2}\right) \quad (6)$$

که در آن $f(s)$ شدت اندازه‌گیری شده در مکان s و $\hat{f}(s, s_0)$ شدت تخمین زده شده با استفاده از گسترش چندجمله‌ای در مرکز تجزیه و تحلیل s_0 است. برخلاف سیگنال اطمینان ثابت $c(s)$ در رابطه (۲) که فقط به مکان s بستگی داشت، سیگنال اطمینان قوی $c(s, s_0)$ ، به عنوان پنجه‌های از تجزیه و تحلیل حرکات تغییر می‌کند.



(شکل-۱): توابع پایه چندجمله‌ای $\{1, x, y, x^2, xy, y^2\}$ و تابع گوسی کاربردی a

(Figure-1): Polynomial basis functions $\{1, x, y, x^2, xy, y^2\}$ and Gaussian applicability function a

اگر از تابع کاربردی گوسی استفاده کنیم، سرعت کانولوشن نرمال شده در یک شبکه منظم می‌تواند به وسیله کانولوشن بازگشتی و تفکیک‌پذیر، بیشتر شود. مخرج رابطه (۴) و ماتریس معکوس رابطه (۵) جملات نرمال شده هستند که سیگنال اطمینان ناهمگن را اصلاح می‌کنند؛ از این‌رو به آن کانولوشن نرمال شده می‌گوییم.

۳-۳- مجموعه نمونه نامنظم

متاسفانه برای سیگنال‌های نمونه‌برداری شده نامنظم به دلیل اینکه چندجمله‌ای پایه و تابع کاربردی در یک مختصات محلی نامنظم نمونه‌برداری شده‌اند، کانولوشن نرمال شده نمی‌تواند به مجموعه کانولوشن‌های منظم کاهش یابد؛ بنابراین هر مکان خروجی به ماتریس ضرایب و معکوس متفاوتی نیاز دارد. علاوه‌بر این چون نمونه‌ها به صورت نامنظم قرار دارند، آنها باید نخست پیش از تجزیه و تحلیل محلی جمع‌آوری شوند. برای اطمینان از جمع‌آوری سریع نمونه‌های محلی، ما یک فهرست مرجع در هر پیکسل روی شبکه منظم خروجی را اندازی می‌کنیم، که سوابق نمونه‌های ورودی مربوط به آن پیکسل را حفظ کند. این ساختار داده، یک بار قبل از ترکیب، مقداردهی اولیه می‌شود. آنها می‌توانند به عنوان نمونه‌هایی که حذف شده یا اضافه شده است، کوچک شوند یا رشد کنند. این برای ابرتفکیک‌پذیری پویا از ویدئو که در آن قاب‌های جدید اضافه شده و قاب‌های قدیمی از سامانه حذف می‌شوند، مفید است. برای جمع‌آوری همه نمونه‌ها در چند پیکسل از یک مکان خروجی، مراجع از سوابق ذخیره شده در همه نقاط شبکه در آن همسایگی جمع‌آوری می‌شوند. از آن جا که پیمودن یک شبکه منظم نسبت به مجموعه نقاط نامنظم ساده‌تر است، نمونه‌های ورودی با این فهرست‌های مرجع می‌توانند بسیار مؤثرتر جمع‌آوری شوند. این ساختار داده هر چند ساده است، ولی صرفه‌جویی فوق العاده‌ای در زمان جستجوی نمونه فراهم می‌کند. همچنین داده‌ها بسیار فشرده می‌شود؛ چون به جای همه ویژگی‌های نمونه، فقط مراجع را نگهداری می‌کند. مجموعه نمونه نامنظم در مورد ابرتفکیک‌پذیری از قاب‌های با تفکیک‌پذیری پایین که با یک عامل عدد صحیح بزرگ‌نمایی، جایه‌جا شده‌اند، بسیار مناسب است. اگر عامل بزرگ‌نمایی یک عدد صحیح μ باشد، الگوی توزیع نمونه با تفکیک‌پذیری پایین در شبکه با تفکیک‌پذیری بالا به صورت بلوک‌های تکراری $\mu \times \mu$ خواهد بود. درصورتی که تابع کاربردی ثابت باشد، فهرست مراجع در

است که محور اصلی آن چرخش یافته تا با محور غالب محلی منطبق شود.

$$a(s, s_0) = \rho(s - s_0) \exp \left[-\left(\frac{x \cos \theta + y \sin \theta}{\delta_u(s_0)} \right)^2 - \left(\frac{-x \sin \theta + y \cos \theta}{\delta_v(s_0)} \right)^2 \right] \quad (7)$$

که در آن $\{x_0, y_0\} = s_0$ مرکز تجزیه و تحلیل است، $s = [x, y]$ مختصات محلی نمونه‌های ورودی با توجه به s_0 هستند و ρ یکتابع جعبه‌ای است که بر مبدأ متتمرکز شده تا هسته پایه را با شعاع خاصی محدود کند. δ_u و δ_v جهت مقیاس‌های هسته گوسی ناهمسانگرد هستند. δ_u مقیاس در امتداد جهت‌گیری طولی است و مقدار آن بزرگ‌تر یا مساوی δ_v است. این جهت‌گیری‌ها در شکل (۲) مشخص شده است.



(شکل-۲): نمونه‌ای از تابع کاربردی با ساختار منطبق بر روی تصویر یک نمونه خودرو (نمایش مقیاس‌ها، غیرواقعی است).

(Figure-2): Examples of structure-adaptive applicability functions on a typical vehicle image (the scales shown exaggerated).

در شکل (۳) تأثیر استفاده از سیگنال اطمینان قوی و تابع کاربردی تطبیقی را برای یک نمونه از تصاویر پلاک مشاهده می‌کنیم. همان‌طور که در تصویر مشاهده می‌شود تصویر مربوط به الگوریتم پیشنهادی با استفاده از سیگنال اطمینان قوی و تابع کاربردی تطبیقی هموارتر و هم‌چنین لبه‌های نویسه‌ها در آن تیزتر است.



(شکل-۳): تأثیر سیگنال اطمینان قوی و تابع کاربردی تطبیقی در تصاویر پلاک (شکل (۱) تصویر ورودی، شکل (۲) خروجی الگوریتم پیشنهادی با استفاده از توابع بالا و شکل (۳) خروجی الگوریتم بدون استفاده از این توابع)

(Figure-3): Effect of robust signal certainty and structure-adaptive applicability functions in license plate image (1: input image, 2: output of the proposed algorithm considering above functions and 3: output of the algorithm without considering above functions)

محدوده طیف‌سنجی δ_r رنج قابل قبول باقی‌مانده خطای $\hat{f} - f$ را مشخص می‌کند. نمونه‌های با باقی‌مانده خطای کمتر از δ_r مقدار اطمینان نزدیک به یک داشته و نمونه‌های با باقی‌مانده خطای بیشتر از $2\delta_r$ مقدار اطمینان کمتر دریافت می‌کنند. ما δ_r را دو برابر انحراف معیار نوفه ورودی انتخاب می‌کنیم. (δ_{noise} از محل‌های کم‌شیب در تصویر به دست می‌آید.)

۳-۵- کانولوشن نرمال شده با ساختار منطبق

کانولوشن نرمال شده یک عمل‌گر محلی است؛ به این معنا که برای عملکرد خود به یک همسایگی محدود نیازمند است. برای مثال کانولوشن نرمال شده مرتبه نخست دو بعدی دست‌کم نیاز به سه نمونه دارد تا فضای محلی را مشخص کند. اگر برای هر پیکسل نمونه کافی وجود داشته باشد، مقیاس تابع کاربردی می‌تواند خیلی کوچک باشد؛ در این صورت بازسازی تصویر خیلی برجسته‌تر می‌شود؛ ولی اگر نمونه‌ها پراکنده باشند، آن‌گاه باید مقیاس تابع کاربردی را افزایش دهیم تا به تعداد نمونه کافی برای چندجمله‌ای پایدار دست یابیم؛ که این امر سبب تاری در نتیجه بازسازی تصویر می‌شود. با این حال یک تابع کاربردی که در طول یک ساختار خطی گسترش داده می‌شود، نمی‌تواند خطوط و لبه‌ها را استخراج کند. بنابراین ترکیب متناسب با بهبود لبه‌ها منجر به برجسته شدن جزئیات کوچک می‌شود. در این بخش ما چنین تابع کاربردی انطباقی را معرفی کرده و نشان می‌دهیم که به‌طور قابل توجهی برای داده‌های پراکنده کیفیت بازسازی تصویر را افزایش می‌دهد. تابع کاربردی یک هسته گوسی ناهمسانگرد است که شکل و جهت‌گیری آن در امتداد ساختار تصویر زمینه منطبق می‌شود. تابع کاربردی انطباقی تضمین می‌کند که نمونه‌ها فقط شدت و اطلاعات گرادیان مشابهی را که از گسترش چندجمله‌ای محلی به دست آمده است، به اشتراک بگذارند. هسته اصلی که در امتداد ساختار خطی گسترش یابد اجازه می‌دهد که نوفه بهتر مهار شود؛ در حالی که از سیگنال‌های مات از بین خطوط و لبه‌ها صرف نظر می‌شود؛ چون نمونه‌ها در امتداد یک ساختار خطی اطلاعات گرادیان مشابهی به اشتراک می‌گذارند، تابع کاربردی تطبیقی برای کانولوشن نرمال شده از هر مرتبه‌ای مناسب است.

۳-۶- تابع کاربردی با ساختار منطبق

تابع کاربردی با ساختار منطبق یک تابع گوسی ناهمسانگرد

۳-۷- مراحل ابرتفکیک‌پذیری

پردازش ابرتفکیک‌پذیری بر روی داده‌های ورودی که از الگوریتم انطباق تصویری در اختیار ما قرار می‌گیرد، درنهایت شامل سه مرحله می‌شود. ابتدا تصویر با تفکیک‌پذیری بالا توسط یک عمل‌گر متوسط‌گیری وزن‌دارشده محلی به دست می‌آید؛ سپس تصویر به دست آمده به عنوان داده ورودی به کانولوشن نرمال شده مرتبه نخست داده می‌شود تا تصویر با تفکیک‌پذیری بالای بهتر، همراه با مشتقات آن در راستای x و y به دست آید؛ سپس مشتقات آن برای ساختن تابع کاربردی ناهمسان‌گرد مربوط به کانولوشن نرمال شده وفقی نهایی استفاده می‌شود.

۴- مراحل الگوریتم پیشنهادی

همان‌طور که در مقدمه گفته شد، در این مقاله ابتدا تصاویر ورودی با تفکیک‌پذیری پایین با استفاده از روش انطباق تصویری فوریه-ملین بر هم منطبق شده و پس از آن تصاویر با استفاده از روش انطباق تصویری وندول یا کرن، بسته به نوع داده ورودی، با دقت بهتری، بر هم منطبق می‌شوند. پس از آن تصاویری که به طور کامل بر هم منطبق شده‌اند به کمک الگوریتم ابرتفکیک‌پذیری، تصویری با تفکیک‌پذیری بالا به دست می‌آید.

باید اشاره کرد که روش‌های انطباق تصویری وندول و کرن در زمینه انطباق تصاویر به لحاظ چرخش و جایه‌جایی دقت خوبی دارند؛ ولی تصاویر ورودی نباید به مقدار زیادی دچار چرخش شده باشند. هم‌چنین اگر تصاویر ورودی به لحاظ مقیاس متفاوت باشند، این دو روش در زمینه تطبیق مقیاس عملکرد ندارند. بنابراین با توجه به این که تصاویر ورودی ما دارای مقدار قابل توجهی چرخش هستند و هم‌چنین به لحاظ مقیاس بر هم منطبق نیستند، از روش فوریه-ملین که در زمینه تطبیق مقیاس نیز عملکرد دارد، پیش از دو روش وندول و کرن برای تطبیق تصاویر استفاده می‌کنیم.

۴-۱- تطبیق تصاویر با استفاده از روش فوریه-ملین و جداسازی قسمت پلاک

تصاویر ورودی ما از قاب‌های تصویر یک فایل ویدئویی به دست می‌آیند؛ با توجه به حرکت و لرزش دوربین قسمت پلاک در تصاویر دارای جایه‌جایی زیادی است، هم‌چنین به لحاظ مقیاس اندازه به طور کامل بر هم منطبق نیستند؛ بنابراین ما ابتدا قسمت بزرگ‌تری نسبت به اندازه پلاک را که در تمام قاب‌های مورد استفاده پلاک به طور کامل در آن قرار گیرد، از تصویر

جدا کرده و بر یکی از قاب‌ها با استفاده از روش فوریه-ملین منطبق می‌کنیم؛ سپس قسمت پلاک خودرو را که اکنون در تمامی تصاویر در یک مختصات مشخص قرار دارد، از تصاویر جدا کرده و برای ورود به الگوریتم انطباق تصویری بعدی آماده می‌کنیم.

۴-۲- تطبیق تصاویر با استفاده از روش انطباق تصویری وندول یا کرن

در این مرحله تصاویر به دست آمده از مرحله گذشته را بسته به نوع تصویر برای تصاویر واقعی با روش کرن و برای تصاویر شبیه‌سازی با روش وندول به صورت کامل بر هم منطبق می‌کنیم. پس از این مرحله تصاویر برای ورود به الگوریتم ابرتفکیک‌پذیری آماده است.

۴-۳- بهبود تصاویر با استفاده از روش ابرتفکیک‌پذیری

در این مرحله تصاویر به دست آمده از مرحله گذشته را به الگوریتم ابرتفکیک‌پذیری مبتنی بر کانولوشن نرمال شده داده و به یک تصویر با تفکیک‌پذیری بالا دست می‌یابیم.

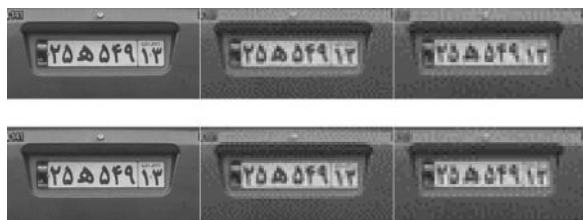
۴-۴- شناسایی شماره پلاک

در اینجا تصویر به دست آمده از مرحله گذشته را به نرم‌افزار نمایشی خواندن پلاک خودرو داده و خروجی آن را که تصویر پلاک به همراه شماره شناسایی شده است، دریافت می‌کنیم.

۵- آزمایش‌ها

برای انجام آزمایش‌ها داده‌های ورودی را به سه دسته تقسیم می‌کنیم؛ دسته نخست تصاویر با تفکیک‌پذیری پایین هستند که با استفاده از یک تصویر واقعی با تفکیک‌پذیری بالا شبیه‌سازی شده است. برای شبیه‌سازی این دسته از داده‌های ورودی از یک تصویر با تفکیک‌پذیری بالا و ابعاد بزرگ حدود 120×300 پیکسل، تعداد هفت تصویر که با مقیاس چهار به یکدیگر یک کوچک شده‌اند و به صورت تصادفی نسبت به یکدیگر 30×75 پیکسل است. در شکل (۴) نمونه‌ای از تصاویر شبیه‌سازی شده به همراه تصویر اصلی آن نشان داده شده است. دسته دوم تصاویری با تفکیک‌پذیری پایین هستند که با استفاده از کوچک‌کردن اندازه ابعاد قاب‌های تصویر ویدئویی واقعی با تفکیک‌پذیری بالا به دست آمده‌اند. برای دست‌یافتن به این دسته از داده‌ها نیز تعداد هشت قاب تصویر با ابعاد بزرگ حدود





(شکل-۵): داده های واقعی کوچک شده (چپ: تصاویر اصلی، وسط: تصاویر کوچک شده با مقیاس ۴ به ۱ و راست: تصاویر کوچک شده با مقیاس ۵ به ۱)

(Figure-5): Downsampled real images (Left: actual size, Middle: 4 to 1 down-sample, Right: 5 to 1 down sample)

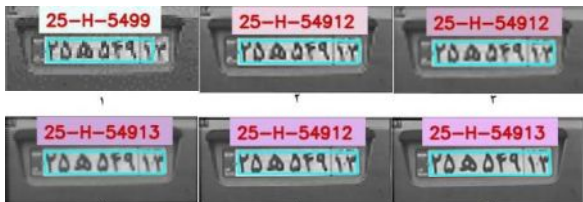


(شکل-۶): داده های واقعی با تکنیک پذیری پایین (۶ قاب تصویر جداسده پس از انطباق قسمت پلاک در قاب های تصویر، با استفاده از روش فوریه - ملین)

(Figure-6): Low resolution real images (6 LR cropped frames matched by Fourier-Mellin matching method)

۱-۵- تصاویر شبیه سازی شده با تکنیک پذیری پایین

در شکل (۷) تصویر شبیه سازی شده حاوی پلاک خودرو که اندازه ابعاد آن 32×71 پیکسل است به همراه تصاویر چهار برآر شده از آن با روش ابر تکنیک پذیری پیشنهادی و روش های دیگر قابل مشاهده است.



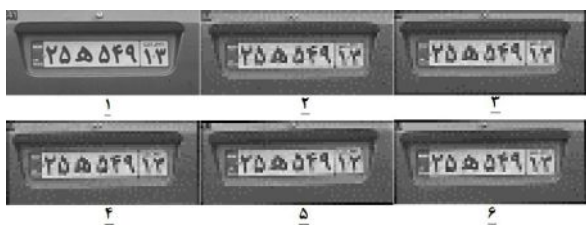
(شکل-۷): نتایج تصاویر شبیه سازی شده با ابعاد 32×71 .
۱: ورودی، ۲: ASDS-AR، ۳: درون یابی مکعبی، ۴: POCS، ۵: پیشنهادی نخست همراه با روش کرن، ۶: پیشنهادی دوم همراه با روش وندول

(Figure-7): Results of LPR algorithm for the simulated image 32×71 (1: Input image, 2: ASDS-AR, 3: Cubic interpolation, 4: POCS, 5 and 6: the proposed SR plus Keren and Vandewalle image matching method, respectively)

همان طور که در شکل مشخص است، تصویر بازسایی شده با روش پیشنهادی و الگوریتم انطباق تصویری وندول نسبت به سایر روش ها کیفیت مطلوب تری دارد و در الگوریتم پلاک خوان مورد استفاده، تمامی نویسه ها در آن به درستی مشخص شده است. برای سایر روش ها الگوریتم پلاک خوان با خطأ مواجه می شود. خروجی الگوریتم پلاک خوان برای این تصویر در شکل (۸) آمده است.

قاب های تصویر با ابعاد کوچک حدود 30×75 و 30×60 پیکسل تبدیل می شوند که در شکل (۵) نمونه ای از این داده ها به تصویر کشیده شده است. دسته سوم تصاویر واقعی هستند که به دلیل بعد مسافت و لرزش دوربین، تکنیک پذیری و کیفیت مناسبی ندارند. برای تشکیل این دسته از داده ها نیز تعداد هشت قاب تصویر از یک تصویر ویدئویی جدا شده و مورد آزمایش قرار می گیرد؛ ابعاد تصاویر این دسته از داده ها حدود 50×120 پیکسل است. برای جداسازی قسمت پلاک، ابتدا قسمت پلاک خودرو را در این تصاویر با استفاده از روش انطباق تصویری فوریه - ملین بر هم منطبق می کنیم. در شکل (۶) نمونه ای از این داده ها که پس از انطباق جداسازی شده اند، مشخص شده است.

در اینجا برای دسته نخست از داده های ورودی نیازی به استفاده از روش انطباق تصویری فوریه - ملین نیست؛ چون جایه جایی تصاویر ورودی زیاد نیست؛ اما برای دو دسته دیگر از داده های ورودی به دلیل جایه جایی زیاد تصاویر ورودی و هم چنین تفاوت مقیاس آنها که ناشی از لرزش دوربین هنگام تصویر برداری است، ابتدا تصاویر به الگوریتم انطباق تصویری فوریه - ملین داده شده و پس از آن مراحل مربوط به دسته نخست داده های ورودی شامل روش انطباق تصویری کرن یا وندول و سپس روش ابر تکنیک پذیری بر روی آنها انجام می گیرد. گفتنی است که در بیشتر موارد مشاهده می شود که نتایج به دست آمده از تصاویری که با استفاده از الگوریتم انطباق تصویری وندول بر هم منطبق شده اند، بهتر است؛ مگر در مواردی که تصاویر واقعی ما در الگوریتم انطباق تصویری فوریه - ملین به درستی بر هم منطبق نشده باشند و یا خطوط مشخص با لبه های تیز در تصویر وجود نداشته باشد که برای این تصاویر روش کرن نتیجه بهتری دارد. همچنین در برخی آزمایش های مربوط به دسته دوم و سوم از داده های ورودی، تأثیر عدم استفاده از روش انطباق تصویری فوریه - ملین نشان داده می شود.



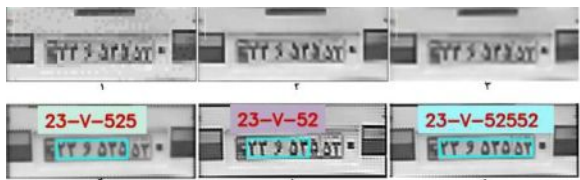
(شکل-۸): تصاویر شبیه سازی، ۱: تصویر اصلی با تکنیک پذیری بالا و شماره های ۲، ۳، ۴، ۵ و ۶ تصاویر شبیه سازی شده از آن با تکنیک پذیری پایین

(Figure-8): Simulated images, 1: real HR input image, and 2 through 6 are the simulated LR ones.



(شکل-۱۱): نتایج تصاویر شبیه‌سازی شده با ابعاد 99×51 ، تصاویر بازسازی شده ۴ برابر شده‌اند (۱: ورودی، ۲: ASDS-AR، ۳: درون‌یابی مکعبی، ۴: POCS، ۵: پیشنهادی نخست همراه با روش کرن، ۶: پیشنهادی دوم همراه با روش وندول)

(Figure-11): Results of LPR algorithm for the simulated image 51×99 , which the output SR images are 4 times larger (1: Input image, 2: ASDS-AR, 3: Cubic interpolation, 4: POCS, 5 and 6: the proposed SR plus Keren and Vandewalle image matching method, respectively)



(شکل-۱۲): نتایج تصاویر شبیه‌سازی شده با ابعاد 56×22 تصاویر بازسازی شده پنج برابر شده‌اند (۱: ورودی، ۲: ASDS-AR، ۳: درون‌یابی مکعبی، ۴: POCS، ۵: پیشنهادی نخست همراه با روش کرن، ۶: پیشنهادی دوم همراه با روش وندول)

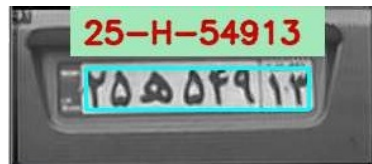
(Figure-12): Results of LPR algorithm for the simulated image 22×56 , which the output SR images are 5 times larger (1: Input image, 2: ASDS-AR, 3: Cubic interpolation, 4: POCS, 5 and 6: the proposed SR plus Keren and Vandewalle image matching method, respectively)

همان‌طور که در نتیجه آزمایش‌ها مشخص است، برای تصاویر شبیه‌سازی شده، روش ابرتفکیک‌پذیری پیشنهادی، همراه با روش انطباق تصویری وندول بهترین کیفیت را در بازسازی تصاویر به همراه خواهد داشت.

۵-۲- تصاویر واقعی با تفکیک‌پذیری کاهش یافته

همان‌طور که پیش از این اشاره کردیم، در این قسمت آزمایش‌ها بر روی تصاویری که حاصل از کوچک‌کردن ابعاد قاب‌های تصویر ویدئویی با تفکیک‌پذیری بالا هستند، انجام می‌شود و نتایج الگوریتم‌های ابرتفکیک‌پذیری بر روی آنها با هم مقایسه می‌شود. گفته‌ی است در این قسمت تأثیر عدم استفاده از روش انطباق تصویری فوریه-ملین برای تصاویر ورودی بررسی می‌شود.

در شکل (۱۳) نتایج مربوط به داده ورودی با ابعاد 76×37 که از کوچک‌کردن تصویر با تفکیک‌پذیری بالا با مقیاس ۴ به ۱ به دست آمده است، به همراه نتایج عدم استفاده از روش انطباق تصویری فوریه-ملین نمایش داده شده است.

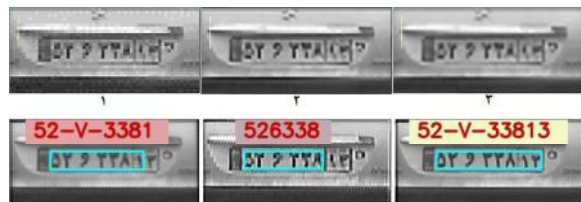


(شکل-۸): خروجی الگوریتم پلاک‌خوان برای تصویر بازسازی شده

به روش پیشنهادی و با استفاده از روش انطباق تصویری وندول

(Figure-8): Results of LPR algorithm for reconstructed image using the proposed SR plus Vandewalle image matching method

در شکل (۹) تصویر شبیه‌سازی شده حاوی پلاک خودرو که اندازه ابعاد آن 60×27 پیکسل است به همراه تصاویر چهار برابر شده از آن با روش ابرتفکیک‌پذیری پیشنهادی و روش‌های دیگر قابل مشاهده است.



(شکل-۹): نتایج تصاویر شبیه‌سازی شده با ابعاد 60×27 (۱: ورودی،

۲: ASDS-AR، ۳: درون‌یابی مکعبی، ۴: POCS، ۵: پیشنهادی نخست همراه با روش کرن، ۶: پیشنهادی دوم همراه با روش وندول)

(Figure-9): Results of LPR algorithm for the simulated image 60×27 (1: Input image, 2: ASDS-AR, 3: Cubic interpolation, 4: POCS, 5 and 6: the proposed SR plus Keren and Vandewalle image matching method, respectively)

در این جا نیز تصویر بازسازی شده با روش پیشنهادی و روش انطباق تصویری وندول کیفیت مطلوب‌تری داشته و فقط این تصویر در الگوریتم پلاک‌خوان قابل شناسایی است. شکل (۸) گویای این مسئله است.



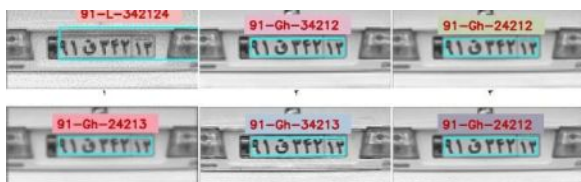
(شکل-۱۰): خروجی الگوریتم پلاک‌خوان برای تصویر بازسازی شده

به روش پیشنهادی و با استفاده از روش انطباق تصویری وندول

(Figure-10): Results of LPR algorithm for the reconstructed image using the proposed SR plus Vandewalle image matching method

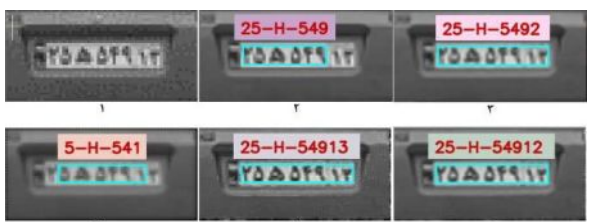
شکل‌های (۱۱ و ۱۲) به ترتیب نتایج بازسازی تصویر برای تصویر ورودی با ابعاد 99×51 و 56×22 می‌باشد که با استفاده از روش‌های ابرتفکیک‌پذیری به ترتیب ۴ و ۵ برابر شده‌اند.

الگوریتم پلاک‌خوان برای دو تصویر مربوط به روش پیشنهادی به همراه روش‌های کرن و وندول آمده است. در این آزمایش نیز خطای الگوریتم پلاک‌خوان برای تصویر مربوط به روش کرن کمتر از تصویر مربوط به روش وندول است؛ همچنین بدلیل بالابودن مقدار خطای تصاویر مربوط به سایر روش‌ها، از آوردن نتایج آنها خودداری کردند.



(شکل-۱۴): نتایج تصاویر واقعی کوچک شده با ابعاد 42×99 شماره پلاک صحیح (۹۱ ۳۴۲ ۱۳) است. (۱): ورودی، (۲): ASDS-AR، (۳): درون‌یابی مکعبی، (۴): POCS، (۵) و (۶): پیشنهادی نخست همراه با روش کرن، (۷): پیشنهادی دوم همراه با روش وندول).

(Figure-14): Results of LPR algorithm for down-sampled real image 42×99 , the license is 91-Gh-34213 (1: Input image, 2: ASDS-AR, 3: Cubic interpolation, 4: POCS, 5 and 6: the proposed SR plus Keren and Vandewalle image matching method, respectively)



(شکل-۱۵): نتایج تصاویر واقعی کوچک شده با ابعاد 30×61 شماره پلاک صحیح (۲۵ ۵ ۵۴۹ ۱۳) است. (۱): ورودی، (۲): ASDS-AR، (۳): درون‌یابی مکعبی، (۴): POCS، (۵) و (۶): پیشنهادی نخست همراه با روش کرن، (۷): پیشنهادی دوم همراه با روش وندول).

(Figure-15): Results of LPR algorithm for down-sampled real image 30×61 , the license is 25-H-54913 (1: Input image, 2: ASDS-AR, 3: Cubic interpolation, 4: POCS, 5 and 6: the proposed SR plus Keren and Vandewalle image matching method, respectively)

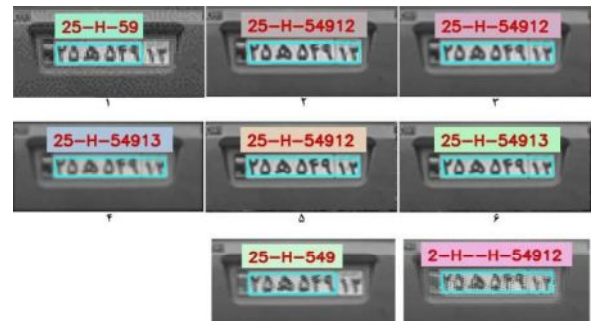
۳-۵-۳- تصاویر واقعی با تفکیک پذیری پایین

همان‌طور که در مقدمه اشاره شد، در این قسمت به بررسی اثر روش پیشنهادی بر روی تصاویری که بدلیل بُعد مسافت و لرزش دوربین هنگام تصویربرداری، تفکیک‌پذیری و کیفیت آنها کاهش یافته است، می‌پردازیم. در این جا نیز تأثیر استفاده از روش انطباق تصویری فوریه-ملین بر روی تصاویر ورودی، پیش از ارائه آنها به الگوریتم‌های انطباق تصویری کرن و وندول در بازسازی تصاویر چشم‌گیر است.

بدین ترتیب ابتدا در شکل (۱۶) نتایج بازسازی قاب‌های تصویر با اندازه ابعاد 124×56 با استفاده از روش پیشنهادی و سایر روش‌ها و همچنین روش پیشنهادی بدون

همان‌طور که در تصویر مشخص است، نتایج به دست آمده از روش پیشنهادی به همراه روش انطباق تصویری کرن و وندول از سایر روش‌ها مطلوب‌تر است، ولی در صورت استفاده از روش کرن لبه‌های تصویر خروجی برجسته‌تر است. همچنین در صورت عدم استفاده از روش انطباق تصویری فوریه-ملین برای داده‌های ورودی نتایج مربوط به روش پیشنهادی بهشت دچار افت می‌شود. در اینجا اندازه تصویر ورودی با استفاده از روش‌های ابرتفکیک‌پذیری چهار برابر شده است.

در شکل (۱۶) نتایج مربوط به داده ورودی با ابعاد 42×99 که از کوچک‌کردن تصویر با تفکیک‌پذیری بالا با مقیاس ۴ به ۱ به دست آمده و به کمک روش‌های ابرتفکیک‌پذیری چهار برابر شده، به همراه خروجی الگوریتم پلاک‌خوان برای سایر تصاویر با خطای زیادی همراه است. همان‌طور که در تصویر قابل مشاهده است، اگر چه تصویر مربوط به روش انطباق تصویری وندول هموارتر است. ولی بدلیل برجسته‌بودن لبه‌ها در تصویر مربوط به روش انطباق تصویری کرن نتایج به دست آمده از الگوریتم پلاک‌خوان برای این تصویر با خطای کمتری همراه است.



(شکل-۱۳): نتایج تصاویر واقعی کوچک شده با ابعاد 37×76 تصویر ورودی کوچک شده به نسبت ۴ به ۱: (۱): ASDS-AR، (۲): درون‌یابی مکعبی، (۳): POCS، (۴): پیشنهادی همراه با روش کرن، (۵) و (۶): پیشنهادی همراه با روش وندول، (۷) و (۸): به ترتیب همان شماره‌های ۵ و ۶ بدون استفاده از روش انطباق تصویری فوریه-ملین)

(Figure 13): Results for downsampled real image 37×76 (1: Input image which is 4 to 1 down sampled, 2: ASDS-AR, 3: Cubic interpolation, 4: POCS, 5 and 6: the proposed SR plus Keren and Vandewalle image matching method, respectively, 7 and 8: the results of 5 and 6 without using Fourier-Mellin image matching method)

در شکل (۱۵) نتایج مربوط به داده ورودی با ابعاد 30×61 که از کوچک‌کردن تصویر با تفکیک‌پذیری بالا با مقیاس ۵ به ۱ به دست آمده و به کمک روش‌های ابرتفکیک‌پذیری پنج برابر شده است، به همراه خروجی

همان‌طور که در شکل مشخص است، برای تصویر ورودی، الگوریتم پلاک خوان دارای چهار خطابوده، برای تصویر بازسازی شده به روش ASDS-AR دارای سه خطابوده، برای روش درون‌یابی و روش POCS نیز سه خطابوده، برای روش پیشنهادی همراه با روش انطباق تصویری کرن فقط یک خطابوده، برای روش پیشنهادی به همراه روش انطباق تصویری وندول دو خطابوده. بنابراین برای تصاویر واقعی روش پیشنهادی با استفاده از روش انطباق تصویری کرن بهترین نتیجه را در حوزه پلاک خودرو در برخواهد داشت.

در جدول (۱) میزان دقت شناسایی تعداد نویسه صحیح از هشت نویسه پلاک در الگوریتم پلاک‌خوان برای تصاویر بازسازی شده به روش‌های مختلف که تصاویر آنها در این بخش آورده شده است، مشاهده می‌شود. همان‌طور که در جدول قابل مشاهده است، برای تصاویر شبیه‌سازی شده ورودی با ابعاد بزرگتر از 27×60 مقدار خطاب در الگوریتم پلاک‌خوان برای تصویر بازسازی شده با روش ابرتفکیک‌پذیری پیشنهادی به همراه روش انطباق تصویری وندول، صفر است و این بدین معناست که روش پیشنهادی برای این تصاویر به خوبی کار می‌کند و الگوریتم پلاک‌خوان توانسته تصویر بازسازی شده با این روش را به طور کاملاً صحیح شناسایی کند؛ اما اگر ابعاد تصاویر ورودی شبیه‌سازی شده به 22×56 کاهش یابد، الگوریتم پلاک‌خوان در شناسایی پلاک دچار خطاب می‌شود و این خطاب همان‌طور که در شکل (۱۸) مشاهده می‌شود، در عدد سه رخ می‌دهد؛ چون به دلیل بر جسته نشدن دندانه عدد سه این عدد به اشتباه عدد دو تشخیص داده می‌شود. گفتنی است که اگرچه الگوریتم پیشنهادی برای این تصاویر دچار خطاب می‌شود، ولی الگوریتم پلاک‌خوان برای تصاویر بازسازی شده با استفاده از سایر روش‌ها، به طور کلی قادر به شناسایی پلاک از تصویر نیست و یا این که مقدار خطاب در آن بسیار زیاد است. در مورد تصاویر واقعی نیز همان‌طور که در جدول (۱) مشخص است، در عدد سه رخ داده است. شکل (۱۹) مشخص است، در عدد سه رخ داده است.

این اتفاق به دلیل بر جسته نشدن دندانه عدد سه و شباهت زیاد آن به عدد دو است. البته در مورد تصاویر واقعی اگر منطبق کردن تصاویر توسط روش انطباق تصویری فوریه-ملین پیش از ارائه آنها به روش انطباق تصویری کرن به خوبی ملین پیش از ارائه آنها به روش انطباق تصویری کرن به خوبی انجام نشده باشد و یا ابعاد تصاویر ورودی کمتر از 53×137 باشد، این میزان خطاب افزایش می‌یابد. در شکل (۲۰) میزان خطاب برای روش پیشنهادی بدون استفاده از روش انطباق

استفاده از روش انطباق تصویری فوریه-ملین آورده شده است. در این آزمایش اندازه ابعاد تصویر خروجی به کمک روش‌های ابرتفکیک‌پذیری چهار برابر اندازه تصاویر ورودی شده است.

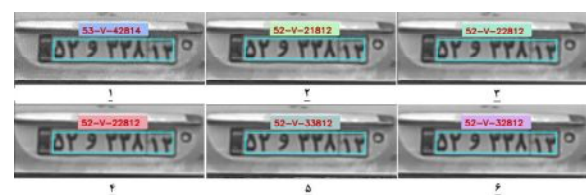


(شکل-۱۶): نتایج تصاویر واقعی با ابعاد 56×124 : ۱: تصویر ورودی، ۲: ASDS-AR، ۳: درون‌یابی مکعبی، ۴: POCS، ۵: پیشنهادی همراه با روش کرن، ۶: پیشنهادی همراه با روش وندول، ۷ و ۸: به ترتیب همان شماره‌های ۵ و ۶ بدون استفاده از روش انطباق تصویری فوریه - ملین)

(Figure-16): Results of LPR algorithm for real image 56×124 (1: Input image, 2: ASDS-AR, 3: Cubic interpolation, 4: POCS, 5 and 6: the proposed SR plus Keren and Vandewalle image matching method, respectively, 7 and 8: the results of 5 and 6 without using Fourier-Mellin image matching method)

همان‌طور که در تصاویر مشخص است تأثیر استفاده از روش انطباق تصویری فوریه-ملین در حالتی که از روش وندول استفاده می‌کنیم بیشتر است، این بدین معناست که اگر تصاویر ورودی ما به خوبی بر هم منطبق نباشند، روش انطباق تصویری وندول پاسخ مناسبی نخواهد داشت.

با توجه به اینکه در این آزمایش‌ها تأثیر روش‌های ابرتفکیک‌پذیری به لحاظ بصری به خوبی قابل مقایسه نیست در شکل (۱۷) خروجی الگوریتم پلاک‌خوان برای یکی از تصاویر ورودی با ابعاد 53×137 و تصاویر بازسازی شده که با استفاده از روش‌های مختلف ابرتفکیک‌پذیری اندازه آنها چهار برابر شده، آورده شده است.



(شکل-۱۷): نتایج تصاویر واقعی با ابعاد 53×137 ، شماره پلاک صحیح (۱۳) ۳۳۸ و (۵۲) است. ۱: ورودی، ۲: ASDS-AR، ۳: درون‌یابی مکعبی، ۴: POCS، ۵: پیشنهادی نخست همراه با روش کرن، ۶: پیشنهادی دوم همراه با روش وندول)

(Figure-17): Results of LPR algorithm for real image 53×137 , the license is 52-v-33812 (1: Input image, 2: ASDS-AR, 3: Cubic interpolation, 4: POCS, 5 and 6: the proposed SR plus Keren and Vandewalle image matching method, respectively)



(شکل-۲۰): خطای رخ داده برای تصاویر واقعی بدون استفاده از روش انطباق تصویری فوریه - ملین در الگوریتم پلاک خوان (۱: تصویر ورودی، ۲: بازسازی شده با روش ابر تفکیک پذیری پیشنهادی فقط با روش انطباق تصویری کرن، ۳: خروجی پلاک خوان و مشخص شدن محل خطای رخ داده)

(Figure-20): Failures of LPR algorithm for real images without using Fourier-Mellin image matching method (1: Input image, 2: Reconstructed image using the proposed SR plus only Keren image matching method, 3: Output of license plate recognition algorithm and positions of the failures)

(جدول-۲): میانگین درصد دقت بر نویسه و دقت بر پلاک هر روش برای حدود ۷۲ پلاک مختلف با ابعاد متفاوت

(Table-2): Percentages of accuracy per character and per license for each compared methods among 72 different license in different size.

متوسط درصد دقت پلاک خوانی									
پیشنهادی دوم با نطباق وندول	پیشنهادی اول با نطباق کرن	قطایق کرن	POCS	ASDS-AR	دون یاپی	مکعبی	تفویز با	تفکیک پذیری کام	نوع تصویر
دقت بر پذیری	دقت بر کارکتر	دقت بر پلاک	دقت بر کارکتر	دقت بر کارکتر	دقت بر پذیری	دقت بر پذیری	دقت بر کارکتر	دقت بر کارکتر	
70.0	90.0	20.0	30.0	70.0	0.0	0.0	0.0	0.0	
58.0	81.25	75.0	93.75	62.5	16.0	62.5	16.0	16.0	شیوه سازی شده
63.0	40.0	79.0	6.0	60.0	46.0	75.0	46.0	52.0	تفویز
11.0	63.0	81.25	75.0	75.0	16.0	60.0	0.0	0.0	کوچک شده
40.0	79.0	6.0	16.0	6.0	0.0	0.0	0.0	23.0	تفویز واقعی
79.0	58.0	11.0	63.0	63.0	81.25	75.0	75.0	25.0	واقعی

سرانجام کلیه آزمایش‌ها را بر روی حدود ۷۲ پلاک مختلف شامل بیست تصویر شبیه‌سازی دوازده تصویر کوچک شده واقعی و چهل تصویر واقعی انجام دادیم. گفتئی است که پلاک‌ها به گونه‌ای انتخاب شدند که همه نویسه‌های استفاده شده در پلاک‌ها نظر اعداد یک الی نه و حروف موجود در پلاک‌ها را شامل شوند. در جدول (۲) نتایج بدست آمده برای این آزمایش‌ها به طور میانگین آورده شده است. در این جدول، دقت بر پلاک مشخص کننده تعداد پلاک خوانده شده صحیح از میان تعداد کل پلاک‌های ورودی است و دقت بر نویسه مشخص کننده تعداد نویسه صحیح شناسایی شده از میان کل نویسه‌ها است. گفتئی است که با توجه به دستی بودن تمامی مرحله بهینه‌سازی قادر به افزایش بیشتر تعداد تصاویر ورودی نبودیم.

تصویری فوریه - ملین نشان داده شده است. همان‌طور که در تصویر مشخص است، تعداد خط از یک خط به سه خط افزایش یافته است.

(جدول-۱): تعداد نویسه صحیح بازشناسی شده توسط الگوریتم پلاک خوان از میان هشت نویسه پلاک بعد از اعمال روش‌های مختلف ابر تفکیک پذیری، علامت - نشان دهنده عدم تشخیص کلی پلاک توسط الگوریتم پلاک خوان

(Table-1): Number of correct recognized characters among 8 character in LPR algorithm using different SR methods, - means non-recognizable plate in input image

تعداد کارکتر صحیح از ۸ کارکتر پلاک							
پیشنهادی دوم با نطباق وندول	پیشنهادی اول با نطباق کرن	POCS	ASDS-AR	دون یاپی مکعبی	تفکیک پذیری کام	اعداد تصویر	نوع تصویر
8	7	8	7	7	6	32×71	شبیه‌سازی
8	5	7	-	-	-	27×60	
7	5	6	-	-	-	22×56	
6	8	6	7	6	4	42×99	
7	8	4	6	6	-	30×61	واقعی
6	7	5	5	5	4	53×147	واقعی



(شکل-۱۸): خطای رخ داده برای تصاویر شبیه‌سازی شده در الگوریتم پلاک خوان (۱: تصویر ورودی، ۲: تصویر بازسازی شده با روش ابر تفکیک پذیری پیشنهادی همراه با روش انطباق تصویری وندول و ۳: خروجی الگوریتم پلاک خوان به همراه مشخص کردن محل خطای رخ داده)

(Figure-18): Failures of LPR algorithm for simulated images (1: Input image, 2: Reconstructed image using the proposed SR plus Vandewalle image matching method, 3: Output of license plate recognition algorithm and positions of the failures)



(شکل-۱۹): خطای رخ داده برای تصاویر واقعی در الگوریتم پلاک خوان (۱: تصویر ورودی، ۲: تصویر بازسازی شده با روش ابر تفکیک پذیری پیشنهادی همراه با روش انطباق تصویری کرن، ۳: خروجی الگوریتم پلاک خوان به همراه مشخص کردن محل خطای رخ داده)

(Figure-19): Failures of LPR algorithm for a real image (1: Input image, 2: Reconstructed image using the proposed SR, 3: Output of license plate recognition algorithm and positions of the failure)



در تصاویر بازسازی شده است. گفتنی است که برای تصاویر واقعی کوچک شده و تصاویر واقعی با تفکیک پذیری پایین در صورتی که انطباق تصاویر ورودی توسط روش انطباق تصویری فوریه-ملین پیش از ورود آنها به روش انطباق تصویری کرن به خوبی انجام نشده باشد، میزان خطای حدود ۲۵٪ الی ۵۰٪ افزایش می‌یابد و این موضوع نشان از تأثیر شدید روش‌های انطباق تصویری در حوزه ابرتفکیک پذیری تصاویر دارد.

۶- بحث پیرامون نتایج

با توجه به آزمایش‌های مختلف انجام شده، در مورد تصاویر شبیه‌سازی شده‌ای که ابعاد آنها به حدود 22×56 کاهاش یافته است و با روش پیشنهادی بازسازی شده باشند، الگوریتم پلاک‌خوان در تشخیص شماره پلاک دچار درحدود دو خطای می‌شود که این خطاهای به طور معمول در اعداد دو و سه رخ می‌دهد و این به دلیل عدم برجستگی دندانه عدد سه در تصویر بازسازی شده و شباهت عدد دو و سه در آن تصویر است. در مورد تصاویر واقعی نیز الگوریتم پلاک‌خوان بیشتر در شناسایی اعداد دو و سه دچار مشکل می‌شود. البته در مورد تصاویر واقعی اگر ابتدا تصاویر ورودی با روش انطباق تصویری فوریه-ملین به خوبی بر هم منطبق نشوند خطای رخ داده به میزان قابل توجهی افزایش می‌یابد.

همچنین نتیجه بازخوانی تصاویر به دست آمده از روش‌های مختلف در الگوریتم پلاک‌خوان را با توجه به طول پلاک در تصاویر، برای تصاویر واقعی مورد بررسی قراردادیم که نتایج آن در نمودار شکل (۲۱) آورده شده است. در این نمودار تعداد نویسه صحیح خوانده شده از میان هشت نویسه موجود در پلاک روی محور عمودی و تعداد پیکسل مربوط به طول تصویر پلاک روی محور افقی نشان داده شده است. همان‌طور که در شکل مشخص است، برای تصاویر با طول پلاک ۳۷ پیکسل هیچ یک از تصاویر قابل تشخیص نبوده و فقط در تصویر بازسازی شده به روش پیشنهادی با استفاده از روش کرن سه نویسه تشخیص داده شده است. برای تصاویر با طول ۴۱ و ۴۳ پیکسل برای روش پیشنهادی شش نویسه و برای سایر روش‌ها حداقل چهار نویسه قابل تشخیص است. درنهایت برای تصاویر با طول بیش از پنجاه پیکسل روش پیشنهادی به طور تقریبی بدون خطای بوده است که در مقایسه با سایر روش‌ها عملکرد بهتری دارد.

مشاهده می‌شود که برای داده‌های شبیه‌سازی شده بسته به ابعاد آنها، برای تصویر خروجی از الگوریتم ابرتفکیک پذیری پیشنهادی به همراه روش انطباق تصویری وندول، دقت در الگوریتم پلاک‌خوان $87/5\%$ بر نویسه و 70% بر پلاک است، این به این معناست که الگوریتم پلاک‌خوان برای تصویر بازسازی شده به این روش توانسته حدود ۱۴۰ نویسه از مجموع ۱۶۰ نویسه موجود در پلاک‌ها و همچنین چهارده پلاک از مجموع بیست پلاک را به طور صحیح شناسایی کند. این موضوع نشان می‌دهد که روش پیشنهادی نسبت به بهترین نتیجه به دست آمده از سایر روش‌ها در مورد تصاویر شبیه‌سازی شده توانسته است دقت بر نویسه را به اندازه ۴۰٪ و دقت بر پلاک را به اندازه ۲۰٪ افزایش دهد. گفتنی است که بیشتر خطاهای رخ داده در الگوریتم پلاک‌خوان مربوط به اعداد دو و سه در پلاک است، که به نظر می‌رسد این موضوع به دلیل عدم وجود برجستگی لازم در قسمت دندانه عدد سه و شباهت زیاد این دو عدد در تصاویر بازسازی شده است.

همچنین برای تصاویر واقعی کوچک شده میزان دقت برای تصاویر بازسازی شده با الگوریتم ابرتفکیک پذیری پیشنهادی و روش انطباق تصویری کرن، $93/75\%$ بر نویسه و 75% بر پلاک است. به عبارت دیگر الگوریتم پلاک‌خوان برای تصاویر بازسازی شده به روش پیشنهادی توانسته است حدود نویسه از مجموع ۹۶ نویسه و نه پلاک از مجموع دوازده پلاک را به درستی شناسایی کند. این موضوع نشان می‌دهد که روش پیشنهادی نسبت به بهترین نتیجه به دست آمده از سایر روش‌ها برای این تصاویر توانسته است دقت بر نویسه را به اندازه $18/75\%$ و دقت بر پلاک را به اندازه 59% افزایش دهد. در این دسته از داده‌ها نیز بیشترین خطای رخ دار اعداد دو و سه اتفاق می‌افتد؛ اما برای تصاویر واقعی با تفکیک پذیری پایین میزان دقت برای تصاویر بازسازی شده با الگوریتم ابرتفکیک پذیری پیشنهادی به همراه روش انطباق تصویری کرن 79% بر نویسه و 40% بر پلاک است، به عبارت دیگر الگوریتم پلاک‌خوان برای تصاویر بازسازی شده با روش پیشنهادی توانسته است حدود ۲۵۳ نویسه از ۳۲۰ نویسه و ۱۶ پلاک از مجموع ۴۰ پلاک بررسی شده را به درستی شناسایی کند و این نشان‌دهنده آن است که روش پیشنهادی توانسته دقت بر نویسه را به اندازه 19% و دقت بر پلاک را به اندازه 34% نسبت به بهترین نتیجه به دست آمده از سایر روش‌ها بهبود دهد. در این دسته از داده‌ها بیشترین خطای رخ دار اعداد دو، سه و چهار رخ داد، که به دلیل برجسته نشدن لبه‌ها



و یا خطوط برجسته با لبه‌های تیز در آنها وجود نداشته باشد، خروجی این روش دقت مطلوب را ندارد. روش ابرتفکیک‌پذیری مورد استفاده مبتنی بر کانون‌لوشن نرمال‌شده برای همه داده‌های ورودی از قبیل داده‌های شبیه‌سازی‌شده و داده‌های واقعی نسبت به سایر روش‌های ابرتفکیک‌پذیری، هم به لحاظ بصری و هم به لحاظ کمترین خطأ در الگوریتم پلاک‌خوان مطلوب‌تر بود؛ به طوری که با توجه به نتایج آزمایش‌ها، برای داده‌های شبیه‌سازی‌شده به طور میانگین میزان دقت در الگوریتم پلاک‌خوان را به اندازه ۳۷٪/۵ بر نویسه و ۷۰٪ بر پلاک افزایش داده است. همچنین برای تصاویر واقعی کوچک‌شده به طور میانگین میزان دقت را به اندازه ۱۸٪/۷۵ بر نویسه و ۵۹٪ بر پلاک افزایش داده و برای تصاویر واقعی نیز میزان دقت را به اندازه ۱۹٪ بر نویسه و ۳۴٪ بر پلاک بهبود داده است؛ بنابراین در این مقاله به این نتیجه دست یافته‌یم که برای تصاویر پلاک، روش ابرتفکیک‌پذیری پیشنهادی مبتنی بر کانون‌لوشن نرمال‌شده به همراه یکی از دو روش انطباق تصویری کرن یا وندول بسته به داده ورودی بهترین نتیجه را در بر خواهد داشت. البته برای تصاویر واقعی باید ابتدا تصاویر ورودی با استفاده از روش انطباق تصویری فوریه-ملین بر هم منطبق شوند.

8- References

۸- مراجع

- [1] غ. منتظر، م. شایسته فر، شبکه‌ای پلاک خودروهای ایرانی با الگوریتم ماشین بردار پشتیبانی فازی، مجله پردازش علائم و داده‌ها، جلد ۱۲، شماره ۱، صفحات ۴۷-۵۶. ۱۳۹۴
- [2] A. Rahimi, P. Moallem, K. Shahtalebi, M. Momeni, "Using Kalman filter in the frequency domain for multi-frame scalable super resolution", *Signal Processing*, vol. 155, pp. 108-129, 2019.
- [3] Z. Li, G. Han, S. Xiao, and X. Chen, "MAP-based single-frame super-resolution image reconstruction for license plate recognition", International Conference on Computational Intelligence and Software Engineering (CiSE), 2009.
- [4] W. Dong, L. Zhang, G. Shi, and X. Wu, "Image deblurring and super-resolution by adaptive sparse domain selection and adaptive regula-rization", *IEEE Transactions on Image Pro-cessing*, vol. 20, no. 7, pp. 1838-1857, 2011.



(شکل-۲۱): تعداد کاراکتر صحیح بر حسب طول پیکسلی پلاک، برای روش‌های مورد مقایسه

(Figure-21): Number of correct characters via license plate length in pixels, for all compared methods

۷- نتیجه‌گیری

با توجه به بررسی‌های انجام‌شده در زمینه ابرتفکیک‌پذیری تصاویر، مشخص شد که روش‌های ابرتفکیک‌پذیری تک تصویری به دلیل عدم نیاز به روش‌های انطباق تصویری بسیار ساده‌تر هستند. از میان روش‌های ابرتفکیک‌پذیری تک تصویری، روش مبتنی بر آموزش با استفاده از جفت‌سازی تک‌های تصویر با استفاده از پارامتر انتخاب انطباقی دامنه پراکندگی و تنظیم انطباقی بهترین تأثیر را بر روی تصاویر ورودی در حوزه پلاک به همراه داشت؛ اما این روش نیز در مقایسه با روش‌های چند‌تصویری تأثیر کمتری در بازسازی تصاویر پلاک داشت. بنابراین مشخص شد که روش‌های چند‌تصویری در حوزه پلاک تأثیر مطلوب‌تری در بازسازی تصاویر دارند؛ اما بررسی‌ها و آزمایش‌های مختلف نشان داد که این روش‌ها به شدت به روش‌های انطباق تصویری وابسته‌اند، به گونه‌ای که اگر تصاویر ورودی به خوبی بر هم منطبق نشوند تأثیر این الگوریتم‌ها در بازسازی تصاویر به شدت کاهش می‌یابد. با بررسی‌های انجام‌شده مشخص شد که به دلیل حرکت دوربین نیاز به یک روش انطباق تصویری است که بتواند جایه‌جایی، چرخش و مقیاس تغییر اندازه تصاویر را شبکه‌ای کرده و آنها را بر هم منطبق سازد. بنابراین روش انطباق تصویری فوریه-ملین در این حوزه مورد استفاده قرار گرفت که تأثیر بسیار مناسبی داشت؛ اما دقت این روش به اندازه کافی نیست و تصاویر خروجی این روش باید با یک روش انطباق تصویری دقیق‌تر، بر هم منطبق شوند. برای این منظور روش‌های انطباق تصویری کرن و وندول مورد استفاده قرار گرفتند. با توجه به آزمایش‌های انجام‌شده در فصل گذشته روش انطباق تصویری وندول برای تصاویر شبیه‌سازی شده مناسب است و روش کرن برای تصاویر واقعی، به دلیل آنکه در روش وندول اگر تصاویر ورودی به خوبی بر هم منطبق نباشند



- [17] J. Wang, Z. Xu, and J. Zhang, "Image Registration with Hyperspectral Data Based on Fourier-Mellin Transform", *International Journal of Signal Processing Systems*, vol. 1, no. 1, pp. 107-110, 2013.
- [18] F. Xu, H. Wang, L. Xu, and C. Huang, "", 2nd International Conference on Computer and Automation Engineering (ICCAE), 2010.
- [19] R. Berthilsson, "Affine correlation", 14th International Conference on Pattern Recognition (ICPR), vol. 2, 1458-1460, 1998.
- امین ترکیان** مدرک کارشناسی خود را در رشته مهندسی برق در سال ۱۳۹۱ از دانشگاه صنعتی اصفهان و مدرک کارشناسی ارشد خود را در سال ۱۳۹۵ از دانشگاه اصفهان دریافت کرده است. پژوهش‌های ایشان به طور عمده در حوزه ابرتفکیک پذیری تصاویر دیجیتال است.
- نشانی رایانماء ایشان عبارت است از:
amin.torkian@yahoo.com

- پیمان معلم** دانشآموخته کارشناسی و کارشناسی ارشد مهندسی الکترونیک، به ترتیب در سال ۱۳۷۰ و ۱۳۷۴ از دانشگاه صنعتی اصفهان و دانشگاه صنعتی امیرکبیر، است. ایشان در سال ۱۳۸۲ موفق به اخذ درجه دکترا در مهندسی برق از دانشگاه صنعتی امیرکبیر شد. وی از سال ۱۳۸۲ به عنوان عضو هیأت علمی در دانشگاه اصفهان، مشغول خدمت شد و هم‌اکنون استاد گروه مهندسی برق دانشکده فنی و مهندسی دانشگاه اصفهان است. زمینه‌های علمی مورد علاقه ایشان شامل موضوعاتی مانند پردازش تصاویر، توسعه شبکه‌های عصبی و پردازش هوشمند سیگنال‌ها است. اجرای بیش از سی پروژه کاربردی، تأثیف بیش از سیصد عنوان مقاله در مجلات و کنفرانس‌های معتبر بین‌المللی و ملی و نیز تألیف چهار عنوان کتاب در فعالیت‌های پژوهشی ایشان دیده می‌شود. ایشان در سال‌های ۱۳۸۸ و ۱۳۹۰ به عنوان پژوهش‌گر برتر استان اصفهان در حوزه مهندسی انتخاب و در سال ۱۳۹۱ موفق به کسب نشان پژوهش‌گر برتر در دومین جشنواره بین‌المللی تحقیق و توسعه ایران شدند.
- نشانی رایانماء ایشان عبارت است از:
p_moallem@eng.ui.ac.ir

- [5] S. Aliyan, and A. Broumandnia, "A New Machine Learning Approach to Deblurring License Plate Using K-Means Clustering Method", *International Journal of Advanced Research in Artificial Intelligence*, vol. 1, no. 2, 2011.
- [6] M. Tanaka, and M. Okutomi, "A fast MAP-based super-resolution algorithm for general motion", Proceedings SPIE 6065, Computational Imaging IV, 60651B, 2006.
- [7] J. Yuan, S.-d. Du, and X. Zhu, "Fast super-resolution for license plate image reconstruction", 19th International Conference on Pattern Recognition (ICPR), 2008.
- [8] S. S. Panda, M. Prasad, G. Jena, "POCS based super-resolution image reconstruction using an adaptive regularization parameter", *International Journal of Computer Science Issues*, vol. 8, no. 2, pp. 155-158, 2011.
- [9] L. Tang, "Blind Super-Resolution Image Reconstruction Based on Weighted POCS", *International Journal of Multimedia and Ubiquitous Engineering*, vol. 11, no. 5, pp. 367-376, 2016.
- [10] S.-C. Lin, and C.-T. Chen, "Reconstructing vehicle license plate image from low resolution images using nonuniform interpolation method", *International Journal of Image Processing (IJIP)*, vol. 1, no. 2, pp. 21-28, 2008.
- [11] T. Ahmad, and X.M. Li, "An Integrated Interpolation-based Super Resolution Reconstruction Algorithm for Video Surveillance", *Journal of Communications (JCM)*, vol. 7, no. 6, 464-472, 2012.
- [12] K. Z. Zefreh, W. van Aarle, K. Batenburg, and J. Sijbers, "Super-resolution of license plate images using algebraic reconstruction technique", *Journal of Image and Graphics*, vol. 1, no. 2, 94-98, 2013.
- [13] X. Yan, Q. Shen, and X. Liu, "Super-resolution reconstruction for license plate image in video surveillance system", 10th International Conference on Communications and Networking in China (ChinaCom), 2015.
- [14] D. Keren, S. Peleg, and R. Brada, "Image sequence enhancement using sub-pixel displacements", International Conference on Computer Vision and Pattern Recognition (CVPR), 1988.
- [15] T. Q. Pham, L. J. Van Vliet, and K. Schutte, "Robust fusion of irregularly sampled data using adaptive normalized convolution", *EURASIP Journal on Applied Signal Processing*, vol. 2006, pp. 1-12, 2006.
- [16] P. Vandewalle, S. Susstrunk, and M. Vetterli, "A frequency domain approach to registration of aliased images with application to super-resolution", *EURASIP Journal on Advances in Signal Processing*, 2006:071459, 2006.